

水平補剛材を配置したI形曲線桁の幾何学的非線形挙動

早稲田大学理工学部 学生会員
 早稲田大学理工学研究科 学生会員
 早稲田大学理工学部 正会員
 早稲田大学理工学部 正会員

○ 表 漢 芹
 木 武 義 治
 平 嶋 政 彦
 依 田 照 彦

1. まえがき

道路橋に曲線桁が使用される機会が最近増加し、それに伴ってI形曲線桁に関する研究の必要性が増大している。I形曲線桁の耐荷性能を正確に把握するため、最近ではウェアのみならずフランジとも含めた全体系の構造解析がなされようになってきた^{1), 2)}。さらに、ウェアの幅厚比を大きくしたい場合には、水平補剛材を取り付けなければならぬないので、水平補剛材の桁全体に及ぼす影響も詳細に検討する価値があると思われる。Culver, Dymらは文献³⁾において、水平補剛材が取り付けられたウェアパネルの設計公式を提案しているが、その桁の非線形挙動を明確にするには至っていない。

本報告では、垂直補剛材で換されたI形曲線桁の一区間に水平補剛材を配置し、無補剛のモデルとの比較からフランジやウェアの変形挙動における両者の差違を明らかにするとともに、水平補剛材を曲率中心に向かって内側に配置した場合と外側に配置した場合での桁の挙動がどのように変化するかを定量的に調べた。

2. 解析手法

解析手法としてHerrmannの混合法⁴⁾を用いTotal Lagrangian approachに従って要素方程式を誘導した。非線形計算に対しては、

増分法と修正Newton-Raphson法を組み合わせて収束計算を行った。収束計算は不平衝力が与えられた荷重の1.0%以下になるまで実施した。なお、Herrmannの混合法では曲げモーメントを未知パラメータとして用いていたので、フランジとウェアや水平補剛材とウェアの接合辺のように、モーメントが不連続になる部分での要素マトリックスの重ね合わせに若干の工夫が必要となる。本報告では、接合辺における曲げモーメントの平衡条件を付帯条件とみなしてLagrangeの乘数法を適用し、いわゆる“条件付き停留値問題”に帰着させることで接合部における問題点の解決を計った。

3. 解析モデル

解析対象とした水平補剛材付きI形曲線桁の1パネルを図1に示す。モデルの寸法は、曲率半径: $R = 100[m]$ 、中心角: $\theta = 0.022[rad]$ 、桁高: $h = 220 [cm]$ 、アスペクト比: $R\theta/h = 1.0$ 、ウェア厚: $t_w = 1.0 [cm]$ 、フランジ幅: $b_f = 60.0 [cm]$ 、フランジ厚: $t_f = 1.5, 2.5 [cm]$ とした。水平補剛材については、片側に一段のみ配置し突出幅: $b_s = 13.0 [cm]$ 、厚さ $t_s = 1.0 [cm]$ とし、左端フランジから $0.2h$ の位置の内側あるいは外側に取り付けた。材料定数はYoung率 $E = 2.1 \times 10^4 [kg/cm^2]$ 、Poisson比 $\nu = 0.3$ である。荷重条件はフランジ部で一様、ウェア部で線形分布する応力を与えて曲げを作用させるものとし、モデル端部の境界条件は単純支持(面外変位と曲げモーメントを零とした)。なお、数値計算はパネルの対称性を利用してパネル右半分について実施した。

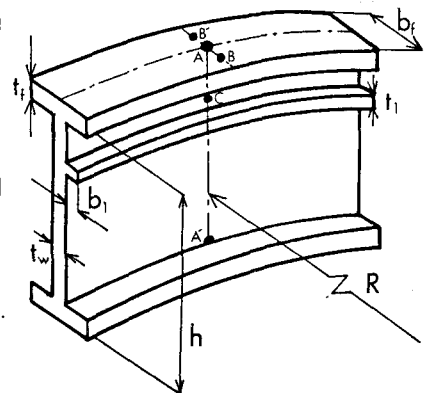


図1. 解析モデル

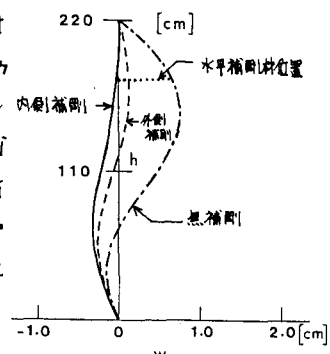


図2. 面外変位モード

4. 結果及び考察

図2～7に解析結果を示す。図2, 3はフランジ端部に作用する応力 $\sigma_f = 1000, 3000 \text{ kg/cm}^2$ におけるA-A'辺のそれぞれの面外変位モードである。この図から水平補剛材を配置すると、無補剛の場合に比べてウェブやネルの圧縮領域における変位が極端に小さくなり、引張領域の変位が逆に卓越してくることがわかる。水平補剛材を内側に配置した場合と外側に配置した場合を比較すると、ウェブ圧縮領域におけるモードに差違がみられ、外側に配置した場合は無補剛のモデルに近いモードを示している。図4, 5は圧縮フランジ中央部のB-B'辺の回転挙動を示している。この図から、 $t_f = 1.5 \text{ cm}$ の場合水平補剛材が配置されると $\sigma_f = 2400 \text{ kg/cm}^2$ 付近で圧縮フランジがねじり座屈を起こすが、 $t_f = 2.5 \text{ cm}$ では荷重レベルが増大してもフランジはほとんど変形しないことがわかる。特に水平補剛材を内側に配置した場合は変形が小さい。図6及び図7には、これら2つのモデルについて $t_f = 1.5 \text{ cm}$ 及び $t_f = 2.5 \text{ cm}$ の場合のC点(図1)の面外変位挙動が示されている。この図から無補剛の場合には荷重レベルが低い段階から強い非線形挙動が現われ、水平補剛材を設けた場合の変位に比べて無補剛の場合の変位はかなり大きくなっていることがわかる。さらに図6, 7において、 $\sigma_f = 2000 \text{ kg/cm}^2$ を過ぎたところで、変位が急に増加する部分が認められる。これは、C点を通る長手方向の変形モードを観察すると $t_f = 2.5 \text{ cm}$ で荷重レベルの付近でモードが5次から9次へ移行していることから、圧縮フランジと水平補剛材に挟まれたウェブ部が局部的に座屈を起こしていることが原因と考えられる。

5.まとめ

(1) 水平補剛材を内側に配置するか外側に配置するかによつてウェブの変形モード及びフランジの回転挙動は大きく変化する。

(2) 水平補剛材の取付け面は、密接性を考えると外側に配置した方が望ましいといつていいが、フランジ厚が十分であれば内側に配置することでも、より効果的に圧縮フランジ及びウェブ圧縮領域の変形を押えることができる。

参考文献

- 1) 植瀬・喜西: 曲げを受けるI形断面彈性歯線アーチの有限変形挙動について、土木学会論文集(英文), 1984-10
- 2) 勝井・大村: フランジ剛性の影響を考慮した曲線形腹板の非線形挙動、土木学会論文集(英文), 1985-4
- 3) Culver, C.G., Dym, C.L. and Vddin, T.: Web slenderness requirements for curved girders, Proc. ASCE, Vol. 99, No. ST3, PP. 417～430, Mar., 1973
- 4) 和田・池田他: 混合要素を用いた板／かくの埋分法による幾何的非線形解析、日本機械学会論文集(A), 1980-4

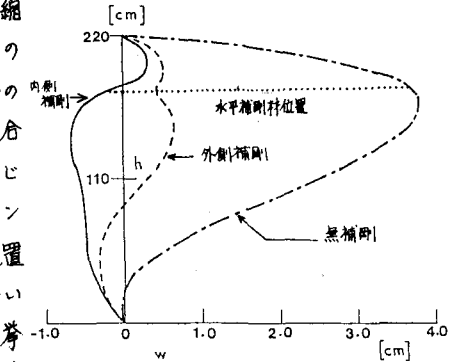


図3. 面外変位モード
(A-A'辺, $\sigma_f = 3000 \text{ kg/cm}^2$)

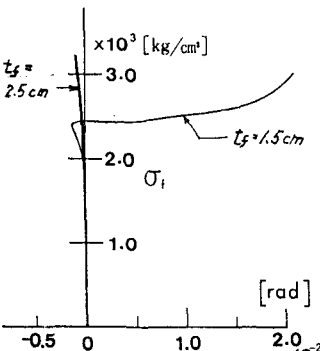


図4. 圧縮フランジの回転挙動
(B-B'辺, 内側に補剛材)

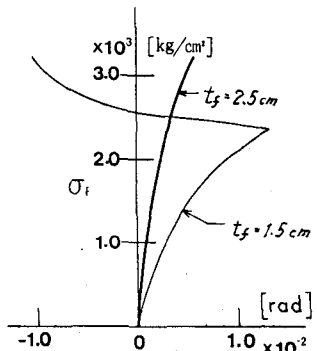


図5. 圧縮フランジの回転挙動
(B-B'辺, 外側に補剛材)

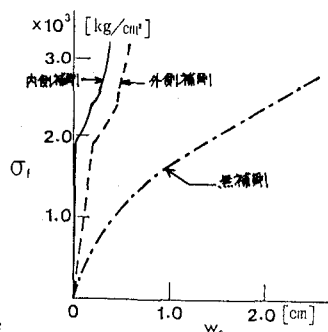


図6. C点の面外変位挙動
($t_f = 1.5 \text{ cm}$)

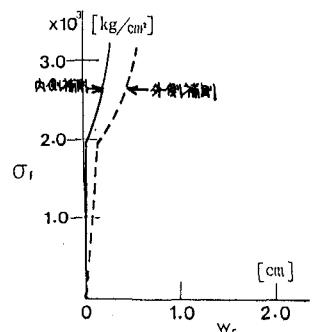


図7. C点の面外変位挙動
($t_f = 2.5 \text{ cm}$)